

ГОСУДАРСТВЕННЫЙ КОМИТЕТ РСФСР ПО ДЕЛАМ НАУКИ И ВЫСШЕЙ ШКОЛЫ
Ордена Трудового Красного Знамени
научно-исследовательский радиофизический институт (НИРФИ)

П р е п р и н т № 336

**ЭНЕРГИЯ УПРУГИХ ВОЛН,
ВОЗБУЖДАЕМЫХ В ПОЛУПРОСТРАНСТВЕ
НЕСТАЦИОНАРНЫМИ СИГЛОВЫМИ ПОВЕРХНОСТНЫМИ
ИСТОЧНИКАМИ**

**А.И. Орлов
А.В. Разин**

Нижний Новгород 1991

О р я о в А. Л., Р а з ж и А. В.

ЭНЕРГИЯ УПРУГИХ ВОЛН, ВОЗБУЖДАЕМЫХ В ПОЛУПРОСТРАНСТВЕ
НЕСТАЦИОНАРНЫМИ СИЛОВЫМИ ПОВЕРХНОСТНЫМИ ИСТОЧНИКАМИ // Препринт
№ 336. - Нижний Новгород: НИРФИ, 1991. - 27 с.

УДК 534.232; 621.891

Методом реакции излучения вычислены энергии продольных, попе-
речных (SV - и SH -поляризаций) и рэлеевских волн, возбуждаемых в
однородном изотропном упругом полупространстве силовыми источни-
ками, произвольным образом распределенными по его поверхности и
во времени.

Вопросы генерации упругих волн распределенными силовыми источниками, действующими на поверхности твердого тела, представляют интерес для ряда приложений. К ним относятся, например, оценки вибраций, возникающих при работе различных механизмов, находящихся на упругом основании, а также проблемы формирования зондирующих сигналов в сейсморазведке и ультразвуковой дефектоскопии. Возбуждение упругих волн в полупространстве гармоническими силовыми источниками, распределенными по его поверхности рассмотрено в работе /1/, где вычислены асимптотики волновых полей в дальней зоне, а также диаграммы направленности и мощности излучения продольных, поперечных (SV - и SH -поляризации) и рэлеевских волн.

Более важным, однако, является рассмотрение нестационарных источников, поскольку большинство реальных процессов, в результате которых излучаются упругие волны, ограничены во времени (подземные толчки при землетрясениях, импульсное звуковое зондирование твердых сред и материалов). Другим важным примером нестационарного источника является движение переменной нагрузки по границе упругой среды или перемещение тела по шероховатой поверхности. В последнем случае потери на излучение волн дают вклад в работу сил трения, поэтому расчет этого эффекта имеет существенное практическое значение /2, 3/.

Возбуждение упругих волн в полупространстве действующими на его поверхности сложными источниками, произвольно зависящими от времени, ранее, по-видимому, не рассматривалось. Частный случай осесимметричной перпендикулярной к границе упругой среды силы исследован в /4/.

В настоящей работе вычислены энергии продольных, поперечных (SV - и SH -поляризации) и рэлеевских волн, возбуждаемых в одно -

родном изотропном упругом полупространстве с помощью источников , произвольным образом распределенными по его поверхности и во времени. В качестве примера рассмотрено возбуждение волн в полупространстве при движении над его поверхностью точечного объекта, который взаимодействует посредством электромагнитных сил с некоторым элементом границы твердого тела. При этом данный элемент подвергается действию нестационарной нагрузки. Подобные модели источников упругих волн используются в теории трения при описании элементарного акта взаимодействия отдельной микронеровности поверхности твердого тела с движущейся по ней точечной нагрузкой - острием идеально жесткой тонкой иглы, называемой индентором /5/. Энергия излучения упругих волн, возбуждаемых движущимся индентором, дает оценку "снизу" для работы сил трения.

Пусть плоскость $Z = 0$ декартовой системы координат совпадает с поверхностью однородного изотропного твердого тела, занимающего полупространство $Z > 0$ и характеризуемого плотностью ρ и параметрами Ламе λ, μ . Скорости продольной C_p и поперечной C_t волн выражаются через параметры упругости и плотность твердого тела формулами: $C_p = [(\lambda + 2\mu)/\rho]^{1/2}$, $C_t = (\mu/\rho)^{1/2}$ /6/.

При действии на единицу поверхности твердого тела силы $\vec{f}(x, y, t)$, где t - время, малые смещения в нем описываются уравнением Ламе /6, 7/.

$$\rho \frac{\partial^2 \vec{u}}{\partial t^2} - (\lambda + \mu) \text{grad div } \vec{u} - \mu \Delta \vec{u} = 0 \quad (1)$$

с граничными условиями при $Z = 0$

$$\sigma_{xz} = -f_x(x, y, t), \quad \sigma_{yz} = -f_y(x, y, t), \quad \sigma_{zz} = -f_z(x, y, t). \quad (2)$$

В (2) σ_{ij} - тензор напряжений.

Возмущения в твердом теле будем описывать с помощью скалярного ψ и векторного \vec{A} потенциалов таких, что смещения определяются выражениями:

$$\vec{u} = \text{grad } \psi + \text{rot } \vec{A}, \quad \text{div } \vec{A} = 0 \quad (3)$$

Для потенциалов можно получить из (I) волновые уравнения

$$\Delta \psi - \frac{1}{c_t^2} \frac{\partial^2 \psi}{\partial t^2} = 0, \quad \Delta \vec{A} - \frac{1}{c_t^2} \frac{\partial^2 \vec{A}}{\partial t^2} = 0, \quad (4)$$

которые необходимо решать совместно с граничными условиями (2) и условиями излучения при $Z \rightarrow \infty$.

При наличии в среде плоских границ поперечную волну с произвольным направлением вектора смещений удобно представить в виде суммы волны, в которой вектор смещений параллелен границе (SH-волны), и волны, в которой вектор смещений имеет перпендикулярную к границе составляющую (SV-волна) /8/. В соответствии с этим векторный потенциал запишем в виде суммы $\vec{A} = \vec{A}_{SV} + \vec{A}_{SH}$.

Для решения краевой задачи (4), (2) воспользуемся преобразованием Фурье. Введем интегральное представление вектора силы \vec{f} :

$$\vec{f}(\vec{r}, t) = \iiint_{-\infty}^{+\infty} \vec{F}(\vec{k}, \omega) e^{-i\omega t + i\vec{k}\vec{r}} d\omega d\vec{k} \quad (5)$$

с формулой обращения

$$\vec{F}(\vec{k}, \omega) = \frac{1}{(2\pi)^3} \iiint_{-\infty}^{+\infty} \vec{f}(\vec{r}, t) e^{i\omega t - i\vec{k}\vec{r}} dt d\vec{r}. \quad (6)$$

В (5), (6) $\vec{F}(\vec{k}, \omega)$ - пространственно-частотный спектр функции $\vec{f}(\vec{r}, t)$, $\vec{r} = (x, y)$ - двумерный вектор, а $\vec{k} = (k_x, k_y)$ - двумерный волновой вектор в плоскости (x, y) , $\vec{k}\vec{r} = k_x x + k_y y$, $d\vec{k} = dk_x dk_y$, $d\vec{r} = dx dy$. Решение уравнений (4) с граничными условиями (2) имеет следующий интегральный вид /9/:

$$\psi = \frac{1}{\mu} \iiint_{-\infty}^{+\infty} \frac{2\alpha_t \vec{k} \vec{F} + (k_t^2 - 2k^2) F_z}{R(k, \omega)} \times \quad (7)$$

$$\times \exp[-i\omega t + i(\vec{k}\vec{r} + \alpha_t z)] d\omega d\vec{k};$$

$$\vec{A}_{SV} = \frac{1}{\mu} \iiint_{-\infty}^{+\infty} \frac{(\kappa_t^2 - 2\kappa^2) \vec{k} \vec{F} - 2\alpha_t \kappa^2 F_z}{R(\kappa, \omega)} \times$$

$$\times \exp[-i\omega t + i(\vec{k}\vec{r} + \alpha_t z)] d\omega d\vec{k}; \quad (8)$$

$$\vec{A}_{SH} = \frac{1}{\rho} \iiint_{-\infty}^{+\infty} \frac{(\alpha_t \vec{k} - \kappa^2 \vec{e}_z)(\kappa_x F_y - \kappa_y F_x)}{\omega^2 \alpha_t \kappa^2} \times$$

$$\times \exp[-i\omega t + i(\kappa r + \alpha_t z)] d\omega d\kappa, \quad (9)$$

где $\alpha_{e,t} = (\kappa_{e,t}^2 - \kappa^2)^{1/2}$, $\kappa_{e,t} = \omega/C_{e,t}$ - волновые числа продольной и поперечной волн на частоте ω , $\kappa = |\vec{\kappa}|$, $\vec{k}\vec{F} = \kappa_x F_x + \kappa_y F_y$, $\vec{k} = \vec{e}_z = \kappa_x \vec{e}_x - \kappa_y \vec{e}_y$, $\vec{e}_x, \vec{e}_y, \vec{e}_z$ - орты координатных осей,

$$R(\kappa, \omega) = (\kappa_t^2 - 2\kappa^2) + 4\kappa^2 \alpha_t.$$

Для сходимости интегралов (7)-(9) при $z \rightarrow \infty$ необходимо определить аналитические функции α_e и α_t на комплексной плоскости κ следующим образом

$$(\kappa_{e,t}^2 - \kappa^2)^{1/2} = i \left| (\kappa^2 - \kappa_{e,t}^2) \right|^{1/2} \text{ при } \kappa > \frac{|\omega|}{C_{e,t}}.$$

Вводя в среду малое затухание можно показать, что контур интегрирования по ω должен проходить в области $\text{Im}\omega > 0$.

Для распределенного поверхностного источника, действие которого ограничено во времени, энергия излучения упругих волн дается выражением (см., например, /10/):

$$E = \int_{-\infty}^{+\infty} dt \iint_{-\infty}^{+\infty} \vec{f}(\vec{r}, t) \dot{\vec{u}}(\vec{r}, t) d\vec{r} \quad (10)$$

(точка над символом \vec{u} означает дифференцирование по времени).

Записывая величины \vec{F} и \dot{U} в виде разложений в интеграл Фурье, преобразуем формулу (10) к виду:

$$E = 8\pi^3 \iiint_{-\infty}^{+\infty} \vec{F}^*(\vec{k}, \omega) \dot{U}(\vec{k}, \omega) d\omega d\vec{k}, \quad (II)$$

где

$$\dot{U}(\vec{k}, \omega) = \frac{1}{(2\pi)^3} \iiint_{-\infty}^{+\infty} \dot{u}(\vec{r}, t) e^{i\omega t - i\vec{k}\vec{r}} d\vec{r} dt. \quad (I2)$$

Отметим, что имеет место соотношение

$$\vec{F}^*(\vec{k}, \omega) = \vec{F}(-\vec{k}, -\omega). \quad (I3)$$

Рассмотрим сначала энергию излучения поперечной SH-волны. Скорости смещений в этой волне при $Z = 0$, как следует из (9), (3), даются выражениями

$$\dot{u}_x^{(SH)} \Big|_{z=0} = -\frac{1}{\rho} \iiint_{-\infty}^{+\infty} \frac{k_y k_t^2 (k_x F_y - k_y F_x)}{\omega \alpha_t k^2} e^{-i\omega t + i\vec{k}\vec{r}} d\omega d\vec{k}, \quad (I4)$$

$$\dot{u}_y^{(SH)} \Big|_{z=0} = \frac{1}{\rho} \iiint_{-\infty}^{+\infty} \frac{k_x k_t^2 (k_x F_y - k_y F_x)}{\omega \alpha_t k^2} e^{-i\omega t + i\vec{k}\vec{r}} d\omega d\vec{k}. \quad (I5)$$

Подставляя (I4), (I5) в (II) и переходя на плоскости k_{OX} и k_{OY} в полярных координатах посредством формул $k_x = k \cos \varphi$, $k_y = k \sin \varphi$, получим следующее выражение для энергии SH-волны

$$E_{SH} = \frac{8\pi^3}{\rho c_t^2} \int_{-\infty}^{+\infty} \omega d\omega \int_0^{2\pi} d\varphi \int_0^{\infty} \frac{F_\varphi F_\varphi^*}{z_t} k dk, \quad (16)$$

где $F_\varphi = F_y \cos \varphi - F_x \sin \varphi$ - азимутальная компонента спектра силы.

При исследовании интеграла (16) участки интегрирования $\omega > 0$ и $\omega < 0$ следует рассматривать отдельно. Анализ показывает, что при $\omega > 0$ контур интегрирования по k проходит ниже оси $\text{Re } k$, причем квадратный корень $\sqrt{k_t^2 - k^2}$ при $k < k_t$ определен как положительная величина. При $\omega < 0$ контур интегрирования по k проходит в области $\text{Re } k > 0$ и корень $\sqrt{k_t^2 - k^2}$ определен как отрицательная величина. В области $k > k_t$ аналитическая функция $\sqrt{k_t^2 - k^2}$ определена как мнимая единица, умноженная на положительное число как при $\omega < 0$, так и при $\omega > 0$.

В соответствии с этим перепишем формулу (16) в виде

$$E_{SH} = \int_{-\infty}^0 \omega d\omega \int_0^{2\pi} d\varphi \int_0^{k_t} \frac{F_\varphi(\omega, k \cos \varphi, k \sin \varphi) F_\varphi(-\omega, -k \cos \varphi, -k \sin \varphi)}{-\sqrt{k_t^2 - k^2}} k dk +$$

$$+ \int_{-\infty}^0 \omega d\omega \int_0^{2\pi} d\varphi \int_{k_t}^{\infty} \frac{F_\varphi(\omega, k \cos \varphi, k \sin \varphi) F_\varphi(-\omega, -k \cos \varphi, -k \sin \varphi)^{(17)}}{i \sqrt{k^2 - k_t^2}} k dk +$$

$$+ \int_0^{\infty} \omega d\omega \int_0^{2\pi} d\varphi \int_0^{k_t} \frac{F_\varphi(\omega, k \cos \varphi, k \sin \varphi) F_\varphi(-\omega, -k \cos \varphi, -k \sin \varphi)}{\sqrt{k_t^2 - k^2}} k dk +$$

$$+ \int_0^{\infty} \omega d\omega \int_0^{2\pi} d\varphi \int_{k_t}^{\infty} \frac{F_\varphi(\omega, k \cos \varphi, k \sin \varphi) F_\varphi(-\omega, -k \cos \varphi, -k \sin \varphi)}{i \sqrt{k^2 - k_t^2}} k dk.$$

В первом и втором интегралах, входящих в (I7), сделаем замену $\omega = -\omega'$. При этом следует учитывать, что пределы интегрирования по K также меняют знак, т.е. $K_t = \omega / c_t$. Это приводит к необходимости замены переменной интегрирования K на $K' = -K$. После несложных преобразований из (I7) получаем следующее выражение для энергии SH-волны:

$$E_{SH} = \frac{16\pi^3}{\rho c_t^2} \int_0^\infty \omega d\omega \int_0^{2\pi} d\varphi \int_0^{K_t} \frac{|F_\varphi(\omega, k \cos\varphi, k \sin\varphi)|^2}{\sqrt{K_t^2 - K^2}} K dK. \quad (I8)$$

Путем замены переменной $K = K_t \sin\theta$ формулу (I8) можно привести к виду

$$E_{SH} = \frac{16\pi^3}{\rho c_t^3} \int_0^\infty \omega^2 d\omega \int_0^{2\pi} d\varphi \int_0^{\pi/2} |F_\varphi(\omega, K_t \sin\theta \cos\varphi, K_t \sin\theta \sin\varphi)|^2 \sin\theta d\theta \quad (I9)$$

Выражение (I9) можно также получить вычисляя поток энергии через поверхность полусферы, которая охватывает источник и имеет центром начало координат.

Перейдем к вычислению энергий излучения продольных (P), поперечных SV-поляризации и рэлеевских (R) волн. Из (7), (8), (3) следует, что суммарные смещения поверхности полупространства в этих волнах имеют вид

$$U_x \Big|_{z=0} = \frac{i}{\mu} \iiint_{-\infty}^{+\infty} \frac{K_x}{K^2 R(K, \omega)} \left[K_t^2 \alpha_t \vec{k} \vec{F} + K^2 (K_t^2 - 2K^2 - 2\alpha_t \alpha_t) F_z \right] e^{-i\omega t + i\vec{k}\vec{r}} d\omega d\vec{k}; \quad (20)$$

$$U_y \Big|_{z=0} = \frac{i}{\mu} \iiint_{-\infty}^{+\infty} \frac{k_y}{k^2 R(k, \omega)} \left[k_t^2 \alpha_t \vec{k} \vec{F} + k^2 (k_t^2 - 2k^2 - 2\alpha_t \alpha_t) F_z \right] e^{-i\omega t + i\vec{k}\vec{r}} d\omega d\vec{k}; \quad (21)$$

$$U_z \Big|_{z=0} = \frac{i}{\mu} \iiint_{-\infty}^{+\infty} \frac{1}{R(k, \omega)} \left[-(k_t^2 - 2k^2 - 2\alpha_t \alpha_t) \vec{k} \vec{F} + k_t^2 \alpha_t F_z \right] e^{-i\omega t + i\vec{k}\vec{r}} d\omega d\vec{k}. \quad (22)$$

Подставляя (20)-(22) в (II) и переходя на плоскости $k_x O k_y$ к полярным координатам получим следующее выражение для суммарной энергии P-, SV- и R-волн:

$$E = \frac{8\pi^3}{\mu} \int_{-\infty}^{+\infty} \omega d\omega \int_0^{2\pi} d\varphi \int_0^{\infty} \frac{k}{R(k, \omega)} \left[k_t^2 \alpha_t |F_r|^2 + k_t^2 \alpha_t |F_z|^2 + k(k_t^2 - 2k^2 - 2\alpha_t \alpha_t) (F_z F_r^* - F_z^* F_r) \right] k dk, \quad (23)$$

где $F_r = F_x \cos \varphi + F_y \sin \varphi$.

При $\omega > 0$ контур интегрирования по k в (23) проходит ниже оси $\text{Re } k$ и обходит определяемый из решения уравнения

$$R(k_R, \omega) = 0$$

релевский полюс $k = k_R$ снизу, а при $\omega < 0$ путь интегрирования по k лежит в области $\text{Re } k > 0$ и обходит полюс $k = k_R$ сверху. По-

этой формуле (23) следует расписать в виде

$$\begin{aligned}
 E = & \frac{\delta \pi^3}{\mu} \int_{-\infty}^0 \omega d\omega \int_0^{2\pi} d\varphi \left\{ \int_0^{k_t} \frac{1}{R(k, \omega)} \left[-k_t^2 \sqrt{k_t^2 - k^2} |F_r|^2 - \right. \right. \\
 & - k_t^2 \sqrt{k_t^2 - k^2} |F_z|^2 + k(k_t^2 - 2k^2 - 2\sqrt{k_t^2 - k^2} \sqrt{k_t^2 - k^2})(F_z F_r^* - F_z^* F_r) \Big] k dk + \\
 & + \int_{k_t}^0 \frac{1}{(k_t^2 - 2k^2)^2 - 4k^2 i \sqrt{k_t^2 - k^2} \sqrt{k_t^2 - k^2}} \left[-k_t^2 \sqrt{k_t^2 - k^2} |F_r|^2 + \right. \\
 & + i k_t^2 \sqrt{k_t^2 - k^2} |F_z|^2 + k(k_t^2 - 2k^2 + 2i \sqrt{k_t^2 - k^2} \sqrt{k_t^2 - k^2})(F_z F_r^* - F_z^* F_r) \Big] k dk + \\
 & + \int_{k_t}^{\infty} \frac{1}{(k_t^2 - 2k^2)^2 - 4k^2 \sqrt{k_t^2 - k^2} \sqrt{k_t^2 - k^2}} \left[i k_t^2 \sqrt{k_t^2 - k^2} |F_r|^2 + \right. \\
 & + i k_t^2 \sqrt{k_t^2 - k^2} |F_z|^2 + k(k_t^2 - 2k^2 + 2\sqrt{k_t^2 - k^2} \sqrt{k_t^2 - k^2})(F_z F_r^* - F_z^* F_r) \Big] k dk - \\
 & - \frac{\pi i k_R}{R'(k, \omega)} \left[i k_t^2 \sqrt{k_R^2 - k_t^2} |F_r|^2 + i k_t^2 \sqrt{k_R^2 - k_t^2} |F_z|^2 + \right.
 \end{aligned}$$

$$\begin{aligned}
& + K_R \left(K_t^2 - 2K_R^2 + 2\sqrt{K_R^2 - K_\ell^2} \sqrt{K_R^2 - K_t^2} (F_z F_r^* - F_z^* F_r) \right) \Bigg\} + \\
& + \frac{8\pi^3}{\mu} \int_0^\infty \omega d\omega \int_0^{2\pi} d\varphi \left\{ \int_0^{K_\ell} \frac{1}{R(K, \omega)} \left[K_t^2 \sqrt{K_t^2 - K^2} |F_r|^2 + \right. \right. \\
& + K_t^2 \sqrt{K_\ell^2 - K^2} |F_z|^2 + K(K_t^2 - 2K^2 - 2\sqrt{K_\ell^2 - K^2} \sqrt{K_t^2 - K^2} (F_z F_r^* - F_z^* F_r)) \Big] K dK + \\
& + \int_{K_\ell}^{K_t} \frac{1}{(K_t^2 - 2K^2)^2 + 4K^2 i \sqrt{K^2 - K_\ell^2} \sqrt{K_t^2 - K^2}} \left[K_t^2 \sqrt{K_t^2 - K^2} |F_r|^2 + \right. \\
& + i K_t^2 \sqrt{K^2 - K_\ell^2} |F_z|^2 + K(K_t^2 - 2K^2 - 2i \sqrt{K^2 - K_\ell^2} \sqrt{K_t^2 - K^2} (F_z F_r^* - F_z^* F_r)) \Big] K dK + \\
& + \int_{K_t}^\infty \frac{1}{(K_t^2 - 2K^2)^2 - 4K^2 \sqrt{K^2 - K_\ell^2} \sqrt{K^2 - K_t^2}} \left[i K_t^2 \sqrt{K^2 - K_t^2} |F_r|^2 + \right. \\
& + i K_t^2 \sqrt{K^2 - K_\ell^2} |F_z|^2 + K(K_t^2 - 2K^2 + 2\sqrt{K^2 - K_\ell^2} \sqrt{K^2 - K_t^2} (F_z F_r^* - F_z^* F_r)) \Big] K dK + \\
& + \frac{\pi i K_R}{R'(K, \omega)} \left[i K_t^2 \sqrt{K_R^2 - K_t^2} |F_r|^2 + i K_t^2 \sqrt{K_R^2 - K_\ell^2} |F_z|^2 + \right. \\
& \left. + K_R (K_t^2 - 2K_R^2 + 2\sqrt{K_R^2 - K_\ell^2} \sqrt{K_R^2 - K_t^2} (F_z F_r^* - F_z^* F_r)) \right] \Bigg\} .
\end{aligned} \tag{24}$$

В (24) \int - символ главного значения, и

$$R'(k, \omega) = \frac{dR}{dk} \Big|_{k=K_R} = \frac{2}{K_R (2K_R^2 - K_t^2)} \left[K_t^6 (4K_R^2 - K_t^2) - 8K_R^6 (K_t^2 - K_\ell^2) \right].$$

При выводе (24) учитывалось, что аналитическая функция $\sqrt{K_\ell^2 - K^2}$ определена на комплексной плоскости K при $\omega > 0$ и $\omega < 0$ также, как выше была определена функция $\sqrt{K_t^2 - K^2}$, и что результат обхода полюса снизу равен поделу вычиту в этом полюсе, а результат обхода полюса сверху - поделу вычиту, взятому со знаком "минус".

Заменой $\omega = -\omega'$; $K = -K'$ для интегралов, в которых $\omega < 0$, преобразуем (24) к виду

$$E = E_V + E_R,$$

$$E_V = \frac{16\pi^3}{\rho c_t^4} \int_0^\infty \omega^3 d\omega \int_0^{2\pi} d\varphi \int_0^{K_\ell} \frac{1}{R(k, \omega)} \left[\sqrt{K_t^2 - K^2} |F_r|^2 + \sqrt{K_t^2 - K^2} |F_z|^2 \right] k dk +$$

$$+ \frac{16\pi^3}{\rho c_t^4} \int_0^\infty \omega^3 d\omega \int_0^{2\pi} d\varphi \int_{K_\ell}^{K_t} \frac{\sqrt{K_t^2 - K^2}}{|R(k, \omega)|^2} \left[(K_t^2 - 2K^2) |F_r|^2 + 4K^2 (K_t^2 - K^2) |F_z|^2 - \right. \quad (25)$$

$$\left. - 2iK \sqrt{K_t^2 - K^2} (K_t^2 - 2K^2) (F_z F_r^* - F_z^* F_r) \right] k dk$$

- суммарная энергия излучения продольных и поперечных SV-волн,

$$E_R = -\frac{16\pi^4}{\rho c_t^2 c_R} \int_0^\infty \omega^2 d\omega \int_0^{2\pi} \frac{1}{R'(K_R, \omega)} \left[K_t^2 \sqrt{K_R^2 - K_t^2} |F_r|^2 + K_t^2 \sqrt{K_R^2 - K_t^2} |F_z|^2 + \right. \quad (26)$$

$$\left. + 2K_R (K_t^2 - 2K_R^2 + 2\sqrt{K_R^2 - K_\ell^2} \sqrt{K_R^2 - K_t^2}) \text{Im}(F_z F_r^*) \right] d\varphi$$

- энергия излучения рэлеевской волны. В (25) $F_r = F_r(\omega, K \cos \varphi, K \sin \varphi)$, $F_z = F_z(\omega, K \cos \varphi, K \sin \varphi)$, а в (26) $F_r = F_r(\omega, K_R \cos \varphi, K_R \sin \varphi)$ и $F_z = F_z(\omega, K_R \cos \varphi, K_R \sin \varphi)$. В (26) для скорости волны Рэля введено обозначение $C_R = \omega / K_R$.

Выделим в (25) выражения, описывающие энергии излучения P- и SV-волн. Рассмотрим первый из входящих в эту формулу интегралов. Избавляясь от иррациональности в знаменателе, а затем прибавляя и вычитая из подынтегрального выражения величину

$$\zeta = 2K \sqrt{K_t^2 - K^2} \sqrt{K_t^2 - K^2} (K_t^2 - 2K^2) (F_z F_r^* + F_z^* F_r),$$

преобразуем этот интеграл к виду

$$E_{(0, K_t)} = E_P + \frac{16\pi^3}{\rho c_t^4} \int_0^\infty \omega^3 d\omega \int_0^{2\pi} d\varphi \int_0^{K_t} \frac{\sqrt{K_t^2 - K^2}}{R^2(K, \omega)} \left[(K_t^2 - 2K^2) |F_r|^2 + 4K^2 (K_t^2 - K^2) |F_z|^2 - 2K \sqrt{K_t^2 - K^2} (K_t^2 - 2K^2) (F_z F_r^* + F_z^* F_r) \right] K dK, \quad (27)$$

где

$$E_P = \frac{16\pi^3}{\rho c_t^4} \int_0^\infty \omega^3 d\omega \int_0^{2\pi} d\varphi \int_0^{K_t} \frac{\sqrt{K_t^2 - K^2}}{R^2(K, \omega)} \left[4K^2 (K_t^2 - K^2) |F_r|^2 + (K_t^2 - 2K^2) |F_z|^2 + 2K \sqrt{K_t^2 - K^2} (K_t^2 - 2K^2) (F_z F_r^* + F_z^* F_r) \right] K dK \quad (28)$$

- энергия продольной волны. Объединяя интегральный член в (27) со вторым из входящих в (25) интегралов, получаем выражение для энергии излучения SV-волны:

$$\begin{aligned}
E_{SV} = & \frac{16\pi^3}{\rho c_t^4} \int_0^\infty \omega^3 d\omega \int_0^{2\pi} d\varphi \int_0^{k_\ell} \frac{\sqrt{k_t^2 - k^2}}{R^2(k, \omega)} \left[(k_t^2 - 2k^2)^2 |F_r|^2 + \right. \\
& + 4k^2(k_t^2 - k^2) |F_z|^2 - 2k\sqrt{k_t^2 - k^2}(k_t^2 - 2k^2)(F_z F_r^* + F_z^* F_r) \left. \right] k dk + \\
& + \frac{16\pi^3}{\rho c_t^4} \int_0^\infty \omega^3 d\omega \int_0^{2\pi} d\varphi \int_{k_\ell}^{k_t} \frac{\sqrt{k_t^2 - k^2}}{|R(k, \omega)|^2} \left[(k_t^2 - 2k^2)^2 |F_r|^2 - \right. \\
& - 4k^2(k_t^2 - k^2) |F_z|^2 - 2ik\sqrt{k_t^2 - k^2}(k_t^2 - 2k^2)(F_z F_r^* - F_z^* F_r) \left. \right] k dk. \quad (29)
\end{aligned}$$

Формулы (28), (29) можно записать в более компактном виде:

$$E_P = \frac{16\pi^3}{\rho c_t^4} \int_0^\infty \omega^3 d\omega \int_0^{2\pi} d\varphi \int_0^{k_\ell} \frac{\sqrt{k_t^2 - k^2}}{R^2(k, \omega)} \left| 2k\sqrt{k_t^2 - k^2} F_r + (k_t^2 - 2k^2) F_z \right|^2 k dk, \quad (30)$$

$$E_{SV} = \frac{16\pi^3}{\rho c_t^4} \int_0^\infty \omega^3 d\omega \int_0^{2\pi} d\varphi \int_0^{k_t} \frac{\sqrt{k_t^2 - k^2}}{|R(k, \omega)|^2} \left| (k_t^2 - 2k^2) F_r - 2k\sqrt{k_t^2 - k^2} F_z \right|^2 k dk. \quad (31)$$

Для в (30), (31) соответственно замены $k = k_\ell \sin \theta$, $k = k_t \sin \theta$, можно получить следующие представления для энергии излучения Р- и SV-волн:

$$E_P = \frac{16\pi^3}{\rho c_\ell^3} \int_0^\infty \omega^2 d\omega \int_0^{2\pi} d\varphi \int_0^{\pi/2} \left| 2n \sin \theta \sqrt{1 - n^2 \sin^2 \theta} F_r(\omega, \vec{k}_\ell^{(s)}) + \right. \quad (32)$$

$$+ (1 - 2n^2 \sin^2 \theta) F_z(\omega, \vec{K}_t^{(s)}) \Big|^2 \left[(1 - 2n^2 \sin^2 \theta) + 4n^3 \sin^2 \theta \cos \theta \times \right. \\ \left. \times \sqrt{1 - n^2 \sin^2 \theta} \right]^{-2} \cos^2 \theta \sin \theta d\theta;$$

$$E_{sv} = \frac{16\pi^3}{\rho c_t^3} \int_0^\infty \omega^2 d\omega \int_0^{2\pi} d\varphi \int_0^{\pi/2} | \cos 2\theta F_r(\omega, \vec{K}_t^{(s)}) - 2 \sin \theta \sqrt{n^2 - \sin^2 \theta} \times \\ (33)$$

$$\times F_z(\omega, \vec{K}_t^{(s)}) \Big|^2 | \cos^2 2\theta + 4 \sin^2 \theta \cos \theta \sqrt{n^2 - \sin^2 \theta} | \cos^2 \theta \sin \theta d\theta,$$

В (32), (33) введены обозначения $n = c_t / c_e$, $\vec{K}_e^{(s)} = K_e \sin \theta (\vec{e}_x \cos \varphi + \vec{e}_y \sin \varphi)$, $\vec{K}_t^{(s)} = K_t \sin \theta (\vec{e}_x \cos \varphi + \vec{e}_y \sin \varphi)$. Формулы (32), (33) можно также получить путем вычисления потока энергии в упругих волнах.

Из общих формул (26), (30), (31) в случае осесимметричной вертикальной нагрузки следуют известные /4/ результаты.

В качестве примера использования полученных выше результатов рассмотрим процесс возбуждения упругих волн в полупространстве $z > 0$ точечным индентором, равномерно движущимся со скоростью v параллельно оси x на высоте h над границей, причем проекция его траектории на плоскость $z = 0$ удалена от оси x на расстояние $y = l$ (рис. I). Индентор взаимодействует с точечным элементом поверхности полупространства, расположенным в начале координат, причем сила взаимодействия обратно пропорциональна квадрату расстояния между ними.

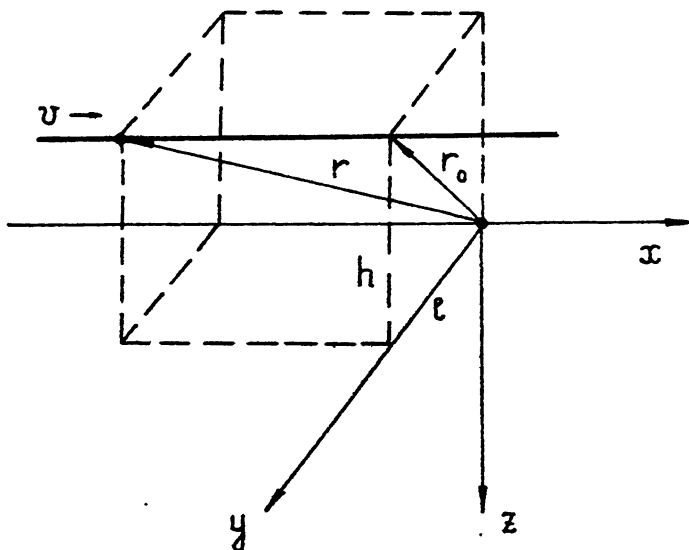
Компоненты силы, действующей на поверхность полупространства в точке с координатами $\mathbf{x} = y = 0$, описываются формулами:

$$f_x = - \frac{F_0 v t}{(r_0^2 + v^2 t^2)^{3/2}} \delta(x) \delta(y), \quad (34)$$

$$f_y = - \frac{F_0 \ell}{(r_0^2 + v^2 t^2)^{3/2}} \delta(x) \delta(y), \quad (35)$$

$$f_z = \frac{F_0 h}{(r_0^2 + v^2 t^2)^{3/2}} \delta(x) \delta(y). \quad (36)$$

В (34)–(36) F_0 – некоторый коэффициент, характеризующий силу взаимодействия элемента поверхности твердого тела с индентором и определяемый их механическими свойствами как пары трения, $r_0^2 = h^2 + \ell^2$ и δ – символ дельта-функции Дирака. При записи этих выражений сделано допущение, что смещения точки $x = y = z = 0$ всегда много меньше r_0 , так что влиянием изменения положения элемента поверхности вследствие волнового движения на силу взаимодействия с индентором можно пренебречь.



Р и с. I

Траектория движения индентора над полупространством $z \geq 0$.

Из (34)–(36), (6) следует, что спектры компонент силы, действующей на поверхность полупространства, имеют вид

$$F_x(\vec{k}, \omega) = - \frac{i F_0 \omega}{4\pi^3 v^2} \mathcal{K}_0\left(\omega \frac{r_0}{v}\right), \quad (37)$$

$$F_y(\vec{k}, \omega) = - \frac{F_0 \ell \omega}{4\pi^3 v^2 r_0} \mathcal{K}_1\left(\omega \frac{r_0}{v}\right), \quad (38)$$

$$F_z(\vec{k}, \omega) = \frac{F_0 h \omega}{4\pi^3 v^2 r_0} \mathcal{K}_1\left(\omega \frac{r_0}{v}\right), \quad (39)$$

где \mathcal{K}_0 и \mathcal{K}_1 – модифицированные функции Бесселя соответственно нулевого и первого порядка.

Подставляя (37)–(39) в общие формулы (19), (26), (32), (33) представим энергии излучения упругих волн в виде

$$E_p = E_0(r_0) \frac{v}{c_p^2} \int_0^\infty d\eta \int_0^{2\pi} d\varphi \int_0^{\pi/2} d\theta \frac{\cos^2 \theta \sin \theta}{R_p^2(\theta)} \eta^2 \times \quad (40)$$

$$\times \left\{ \left[\eta \mathcal{K}_1(\eta) \right]^2 \Phi_1(\theta, \varphi) + \left[\eta \mathcal{K}_0(\eta) \right]^2 \Phi_2(\theta, \varphi) \right\};$$

$$E_{sv} = E_0(r_0) \frac{v c_t^2}{c_t^3} \int_0^\infty d\eta \int_0^{2\pi} d\varphi \int_0^{\arcsin h} d\theta \frac{\cos^2 \theta \sin \theta}{R_t^2(\theta)} \eta^2 \times$$

$$\times \left\{ \left[\eta \mathcal{K}_1(\eta) \right]^2 \Phi_3(\theta, \varphi) + \left[\eta \mathcal{K}_0(\eta) \right]^2 \cos^2 \varphi \right\} +$$

$$\begin{aligned}
& + E_0(r_0) \frac{v c_e^2}{c_t^3} \int_0^\infty d\eta \int_0^{2\pi} d\varphi \int_0^{\pi/2} d\theta \frac{\cos^2 \theta \sin \theta}{R_*(\theta)} \eta^2 \times \\
& \times \left\{ \left[\frac{\ell}{r_0} \cos 2\theta \sin \varphi \cdot \eta \mathcal{K}_1(\eta) \right]^2 + \left[\eta \mathcal{K}_0(\eta) \cos \varphi + \right. \right. \\
& \left. \left. + 2 \frac{h}{r_0} \sin \theta \sqrt{\sin^2 \theta - n^2} \eta \mathcal{K}_1(\eta) \right]^2 \right\}; \quad (41)
\end{aligned}$$

$$\begin{aligned}
E_{SH} = E_0(r_0) \frac{v c_e^2}{c_t^3} \int_0^\infty d\eta \int_0^{2\pi} d\varphi \int_0^{\pi/2} \eta^2 \sin \theta \times \\
\times \left\{ \left[\frac{\ell}{r_0} \cos \varphi \cdot \eta \mathcal{K}_1(\eta) \right]^2 + \left[\sin \varphi \eta \mathcal{K}_0(\eta) \right]^2 \right\}; \quad (42)
\end{aligned}$$

$$\begin{aligned}
E_R = - E_0(r_0) \frac{c_e^2 v}{c_t^2 c_R q} \int_0^\infty \eta^2 d\eta \int_0^{2\pi} d\varphi \left\{ \sqrt{\xi^2 - 1} \left[\left(\frac{\ell}{r_0} \eta \mathcal{K}_1(\eta) \sin \varphi \right)^2 + \right. \right. \\
\left. \left. + \left(\eta \mathcal{K}_0(\eta) \cos \varphi \right)^2 \right] + \sqrt{\xi^2 - n^2} \left(\frac{h}{r_0} \eta \mathcal{K}_1(\eta) \right)^2 + \theta \cos \varphi \frac{h}{r_0} \mathcal{K}_1(\eta) \mathcal{K}_0(\eta) \right\} \eta^2 \quad (43)
\end{aligned}$$

В (40)–(43) интегрирование по ω заменено интегрированием по безразмерному параметру $\eta = \omega r_0 / v$, и введены обозначения:

$$\begin{aligned}
\Phi_1(\theta, \varphi) &= \left[\frac{h}{r_0} (1 - 2n^2 \sin^2 \theta) - 2 \frac{\ell}{r_0} \sin \theta \sin \varphi \sqrt{1 - n^2 \sin^2 \theta} \right]^2, \\
\Phi_2(\theta, \varphi) &= \left[2n \sin \theta \sqrt{1 - n^2 \sin^2 \theta} \cos \varphi \right]^2,
\end{aligned}$$

$$\Phi_3(\theta, \varphi) = \frac{\ell}{r_0} \cos 2\theta \sin \varphi + 2 \sin \theta \sqrt{n^2 \sin^2 \theta}, \quad n \geq \sin \theta,$$

$$R_t(\theta) = (1 - 2n^2 \sin^2 \theta)^2 + 4n^3 \sin^2 \theta \cos \theta \sqrt{1 - n^2 \sin^2 \theta},$$

$$R_t(\theta) = \cos^2 2\theta + 4 \sin^2 \theta \cos \theta \sqrt{n^2 - \sin^2 \theta},$$

$$R_*(\theta) = \cos^4 2\theta + 16 \sin^4 \theta \cos^2 \theta (\sin^2 \theta - n^2),$$

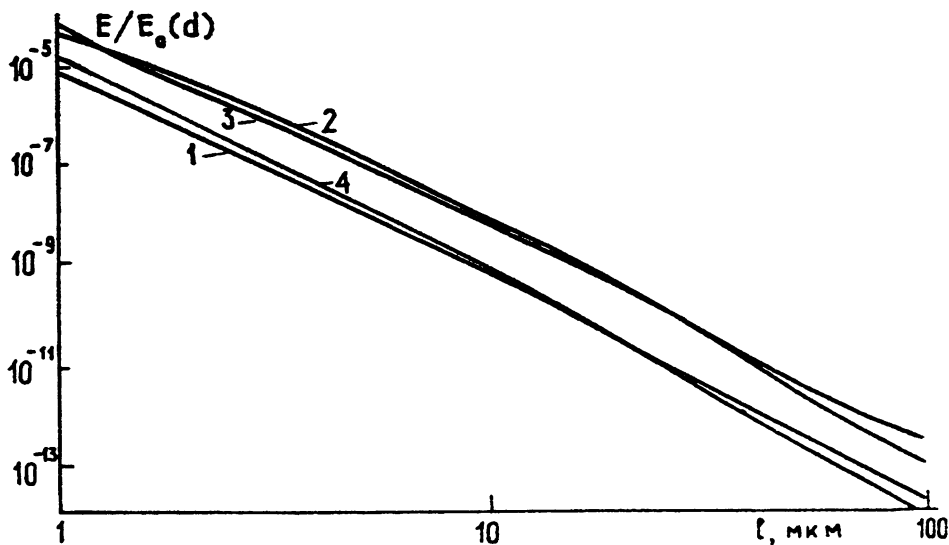
$$q = \frac{2}{\xi(2\xi^2 - 1)^2} [4\xi^2 - 1 - 8\xi^6(1 - n^2)],$$

$$Q = 2\xi \left(1 - 2\xi^2 + 2\sqrt{\xi^2 - 1} \sqrt{\xi^2 - n^2} \right),$$

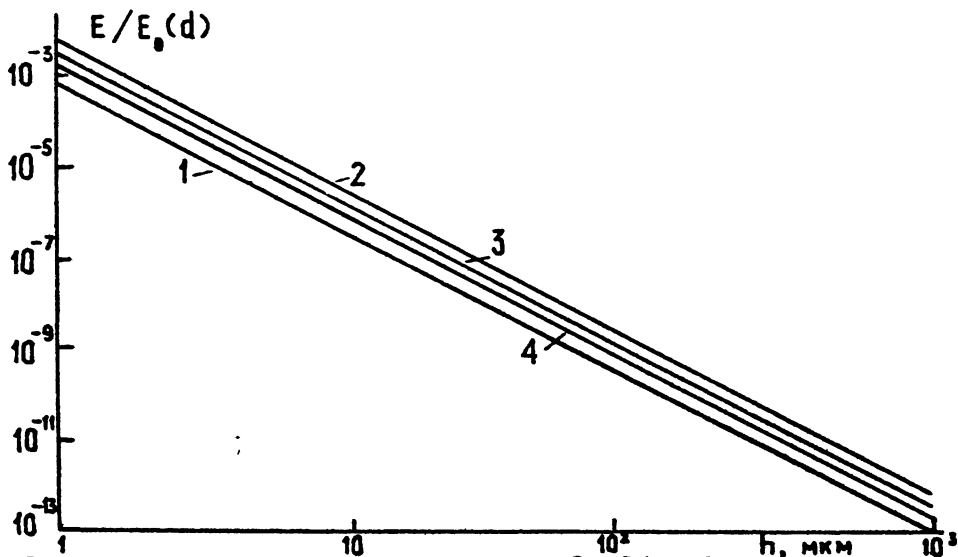
$$\xi = \frac{c_t}{c_R}, \quad E_0(r_0) = \frac{F_0^2}{\pi^3 \rho c_t^2 r_0^5}$$

Анализ формул (40)–(43) показывает, что энергии продольной, поперечных (SV- и SH-поляризации) и рэлеевской волны прямо пропорциональные скорости U движения индентора. Для определения характера зависимостей E_P , E_{SV} , E_{SH} , E_R от величин h и ℓ было проведено численное интегрирование в выражениях (40)–(43). Результаты численных расчетов представлены на рис.2-II. По осям ординат на этих рисунках отложены безразмерные отношения энергий соответствующих типов волн к величине $E_0(d)$, причем для d взято значение 10^{-6} м, характерное для максимальных высот шероховатостей полированных поверхностей.

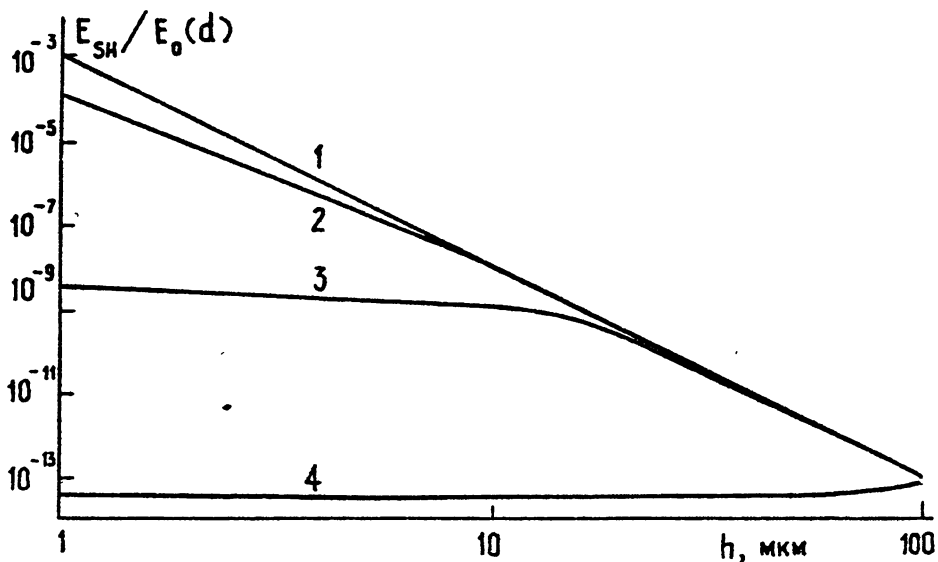
Из рассмотрения рис.2-II следует, что для данных значений ℓ и h наибольшей энергией обладает SV-волна, а наименьшей - P-волна. Характер зависимостей энергий излучения от h и ℓ определяется ,



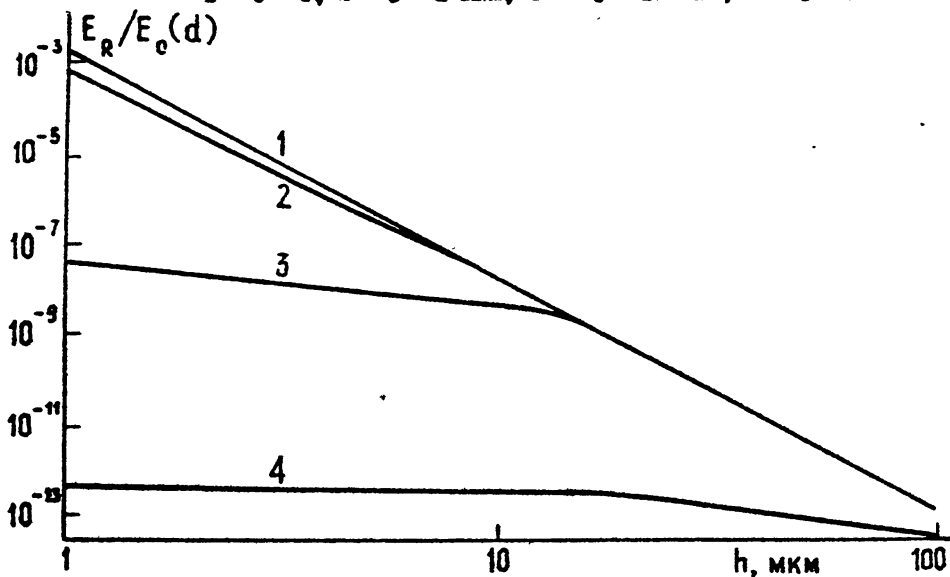
Р и с. 2 Зависимости энергий излучения P-, SV-, SH- и E-волны от параметра l , при $h = 1$ км. 1 - P-волна; 2 - SV-волна; 3 - SH-волна; 4 - волна Рэлея



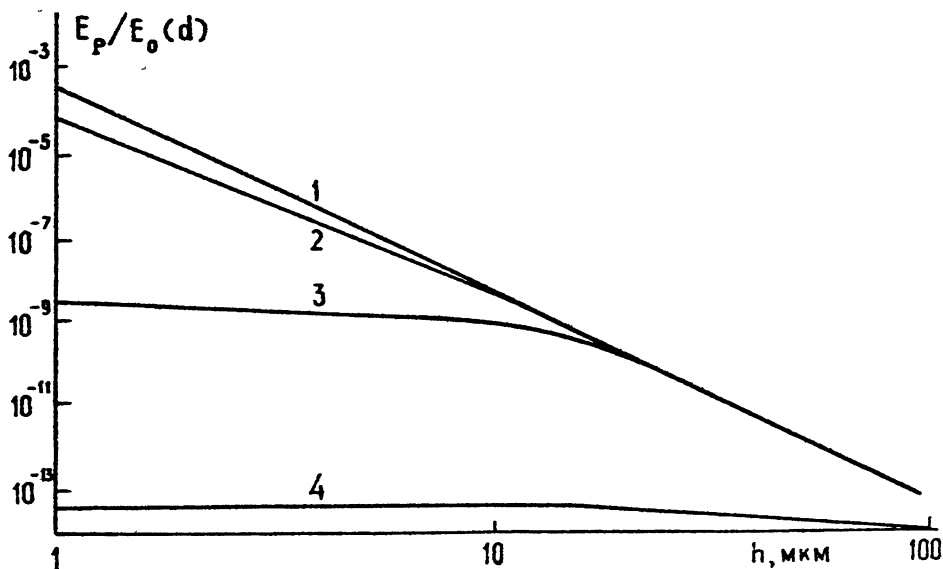
Р и с. 3 Зависимости энергий излучения P-, SV-, SH- и E-волн от параметра h при $l = 0$. 1 - P-волна; 2 - SV-волна; 3 - SH-волна; 4 - волна Рэлея



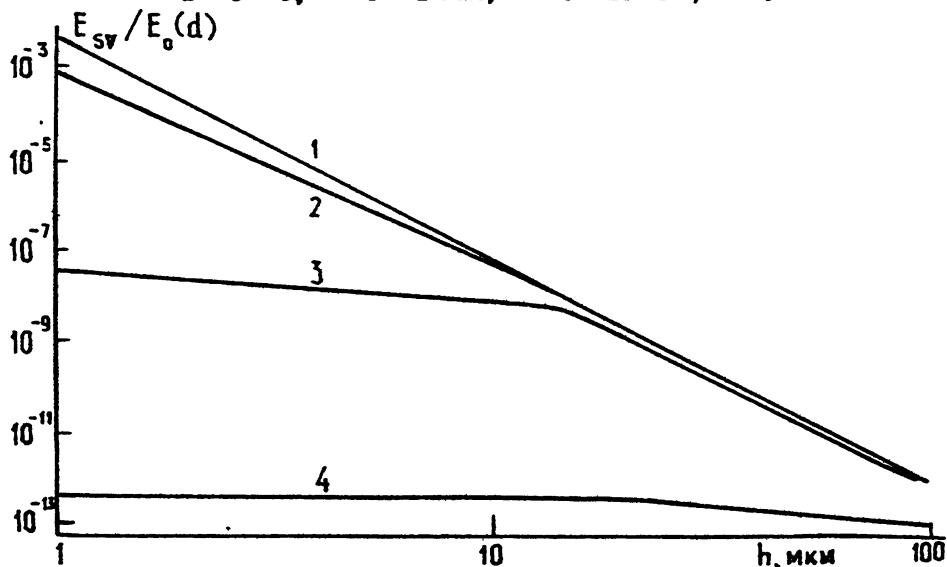
Р и с. 4 Зависимость энергии излучения SH-волны от параметра h .
 1 - $l = 0$; 2 - $l = 1$ мкм; 3 - $l = 10$ мкм; 4 - $l = 100$ мкм



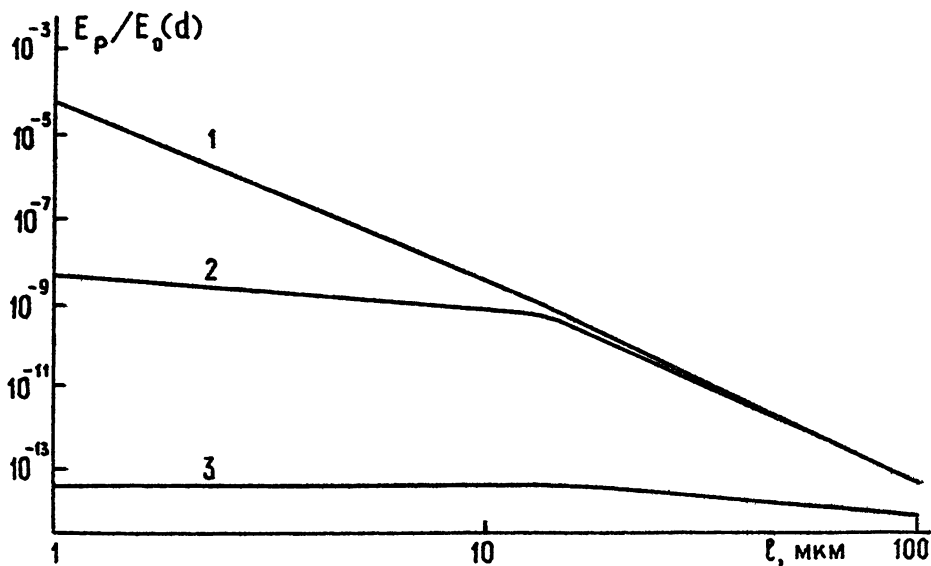
Р и с. 5 Зависимость энергии излучения волны Рэлея от параметра h .
 1 - $l = 0$; 2 - $l = 1$ мкм; 3 - $l = 10$ мкм; 4 - $l = 100$ мкм



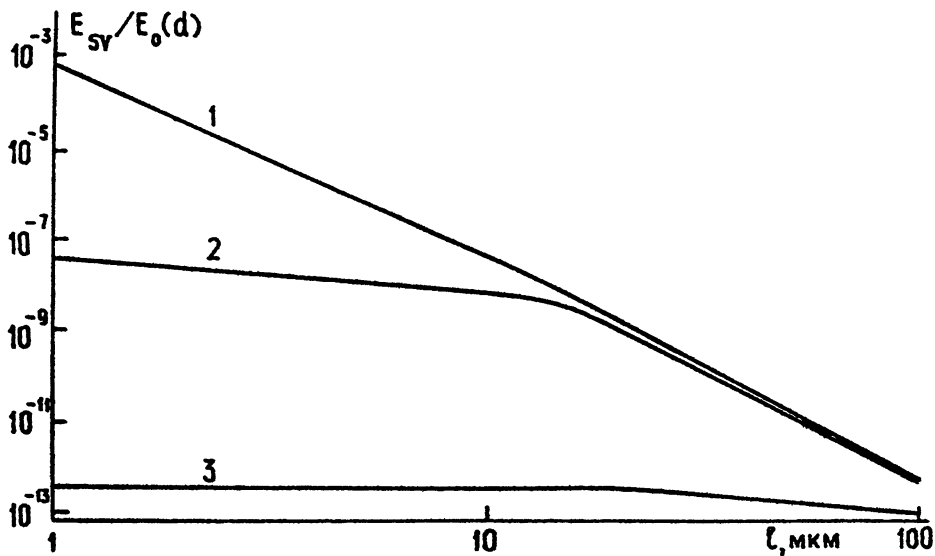
Р и с. 6 Зависимость энергии излучения Р-волны от параметра h .
 1 - $l = 0$; 2 - $l = 1$ мкм; 3 - $l = 10$ мкм; 4 - $l = 100$ мкм



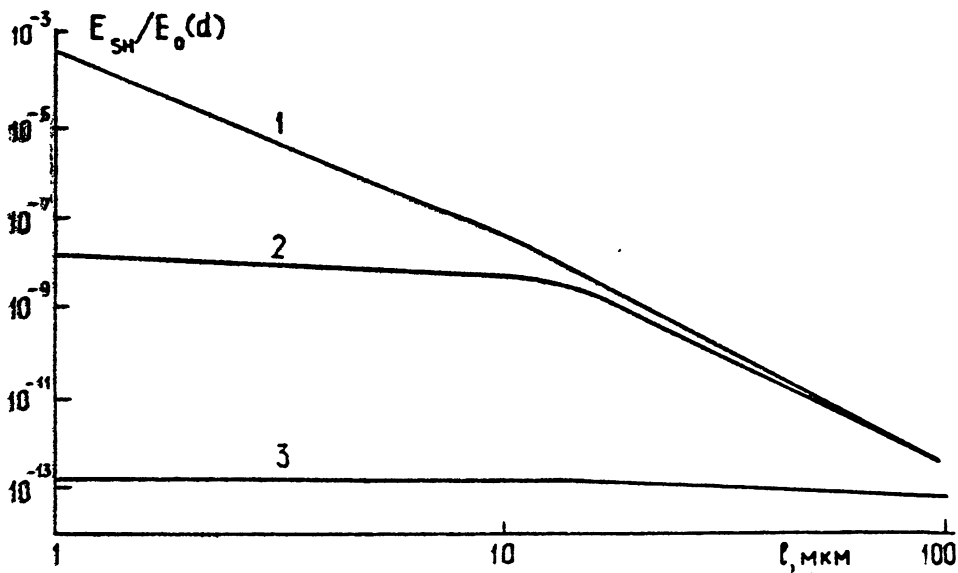
Р и с. 7 Зависимость энергии излучения SV-волны от параметра h .
 1 - $l = 0$; 2 - $l = 1$ мкм; 3 - $l = 10$ мкм; 4 - $l = 100$ мкм



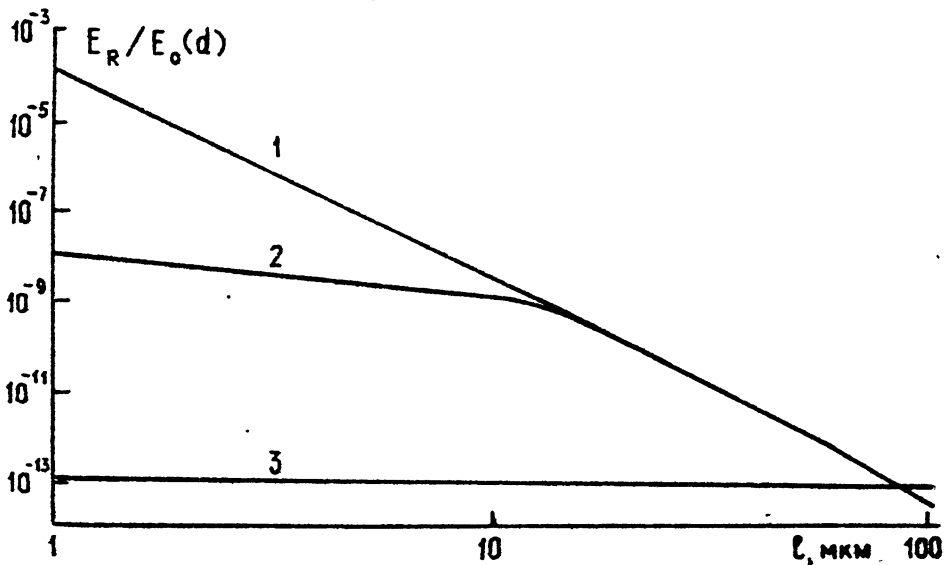
Р и с. 8 Зависимость энергии излучения Р-волны от параметра ℓ .
 1 - $h = 1$ мкм; 2 - $h = 10$ мкм; 3 - $h = 100$ мкм



Р и с. 9 Зависимость энергии излучения SV-волны от параметра ℓ .
 1 - $h = 1$ мкм; 2 - $h = 10$ мкм; 3 - $h = 100$ мкм



Р и с. 10 Зависимость энергии излучения SH-волны от параметра l .
 1 - $h = 1$ мм; 2 - $h = 10$ мм; 3 - $h = 100$ мм



Р и с. 11 Зависимость энергии излучения волны Рэлея от параметра l . 1 - $h = 1$ мм; 2 - $h = 10$ мм; 3 - $h = 100$ мм

главным образом, множителям r_0^{-5} в формулах (40)–(43).

Более адекватным реальному процессу трения разумеется, был бы учет конкретной формы движущегося индентора и конфигураций тех шероховатостей поверхности, с которыми индентор взаимодействует. Основная трудность, возникающая при решении подобной задачи, заключается в вычислении спектров силовых источников, которое не представляется возможным выполнить аналитически по формуле (6). Для некоторых сравнительно простых форм шероховатостей интеграл (6) может быть оценен численно. Соответствующие расчеты будут выполнены в следующей статье.

ЛИТЕРАТУРА

1. Докучаев В.П., Разин А.В. Возбуждение упругих волн в однородном полупространстве поверхностными источниками//Изв.АН СССР. Физика Земли. – 1990. – № 10. – С.81–87.
2. Adirovich E., Blokhingeв D. On the force of dry friction // J. Phys. USSR. – 1943. – V.7, N5. – P. 29–36.
3. Буфеев В.А. Волновые потери при трении//Изв.вузов. Физика. – 1972. – № 5. – С.73–78.
4. Коган С.Я. О сейсмической энергии, возбуждаемой источником, находящимся на поверхности//Изв.АН СССР. Сер.Геофизич. – 1963. – № 7. – С.1000–1013.
5. Крысов С.В., Орлов А.Л. О взаимосвязи волновых свойств тел и кинетической зависимости сил трения//Трение и износ. – 1991. – Т.12, № 4. – С.610–616.
6. Ландау Л.Д., Лифшиц Е.М. Теория упругости. – М.: Наука, 1965. – 204 с.
7. Демидов С.П. Теория упругости. – М.: Высшая школа, 1979. – 432 с.
8. Бреховских Л.М. Волны в слоистых средах. – М.: Наука, 1973. – 343 с.
9. Докучаев В.П., Разин А.В. Возбуждение упругих волн в твердом полупространстве поверхностными источниками//Препринт № 224.–

Горький: ВИРФИ. - 1987. - 33 с.

Ю. Гринченко В.Т., Меленко В.В. Гармонические колебания и волны в упругих телах. - Киев: Наукдумка, 1981. - 284 с.

Дата поступления статьи

20 сентября 1991 г.

Андрей Львович Орлов
Андрей Владимирович Разин

ЭНЕРГИЯ УПРУГИХ ВОЛН, ВОЗБУЖДАЕМЫХ В ПОЛУПРОСТРАНСТВЕ
НЕСТАЦИОНАРНЫМИ СИЛОВЫМИ ПОВЕРХНОСТНЫМИ ИСТОЧНИКАМИ

Подписано в печать 13.11.91 г. Формат 60 x 84/16.
Бумага писчая. Печать офсетная. Объем 1,55 усл.п.л.
Заказ 5217. Тираж 120. Бесплатно.

Отпечатано на ротационте НИРФИ